







Le paléo-lac quaternaire de Cassis

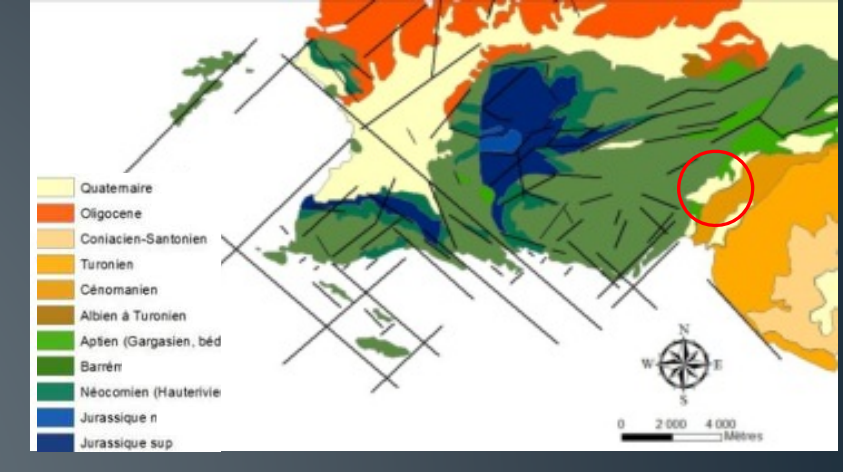
C. Romey¹, P. Rochette¹, C. Vella¹, V Andrieux-Ponel⁴, B. Arfib², C. Champollion³, F. Demory¹, P. Dussouillez¹, M. Garcia¹, D. Hermitte¹, A. Mattioli ⁵, J.-C. Parisot¹, K. Tachikawa¹

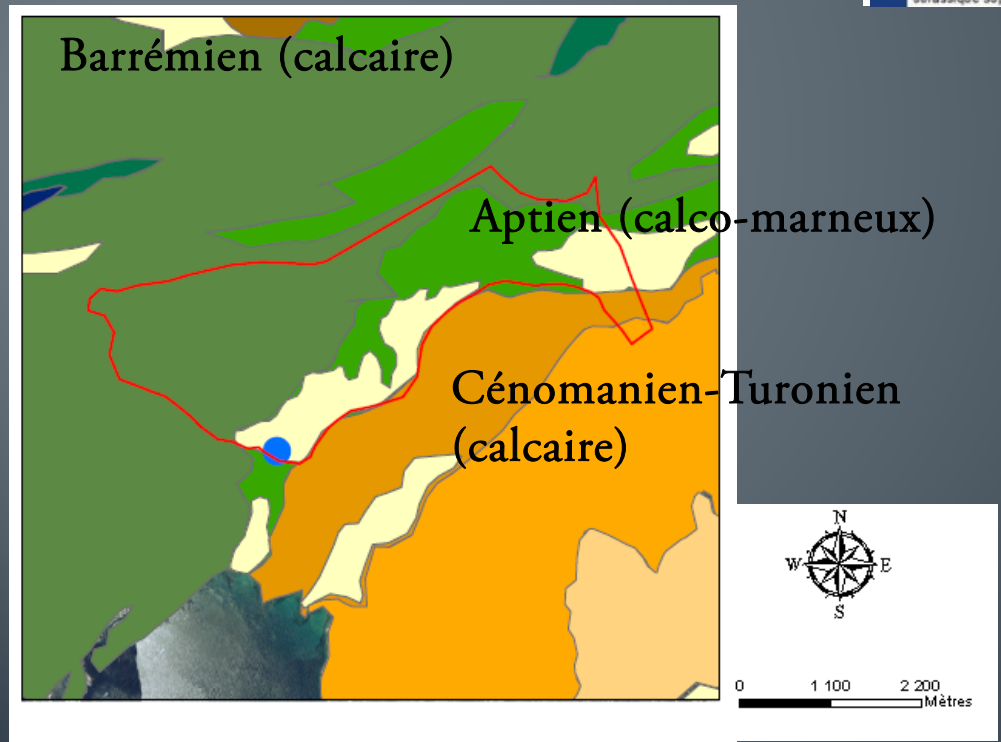
- 1 CEREGE, UMR 7330, Europôle de l'Arbois, Aix-en-Provence
- 2 Laboratoire de Géologie des Systèmes et réservoirs Carbonatés, Aix Marseille-Université, Place Victor Hugo, Marseille
- 3 Laboratoire Géosciences, Université Montpellier II, Place Bataillon, Montpellier
- 4 IMBE, Europôle de l'Arbois, Aix-en-Provence
- 5 Laboratoire de Géologie de Lyon, Université Lyon 1, UMR 5276 CNRS, Lyon

Géologie

Massif des Calanques







D'après Guieu 1969, Collina-Girard 1995

Sommaire

I Paléo-lac de Cassis
Géomorphologie
Hypothèses de formation
Datation du paléo-lac

Il Enregistrement sédimentaire du paléo-lac de Cassis

III Enregistrement Holocène de la plaine de la Ferme Blanche



<u>Gravimétrie</u>

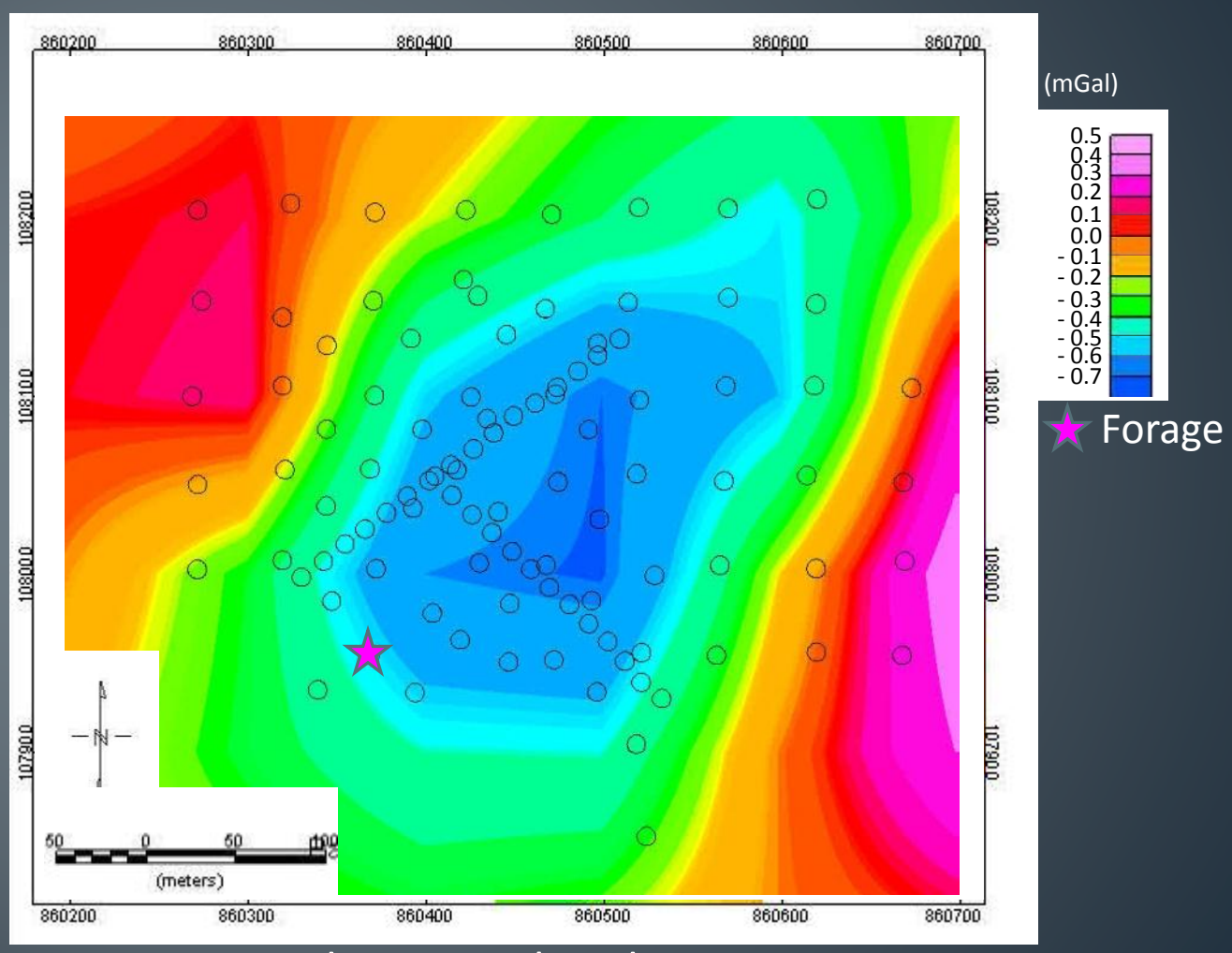
Mesure de la variation de gravité causée par un changement de densité du sous-sol



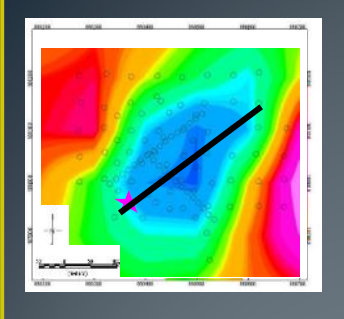
Sédiment moins dense que le calcaire et les marnes : diminution de gravité



C. Champollion, Montpellier II



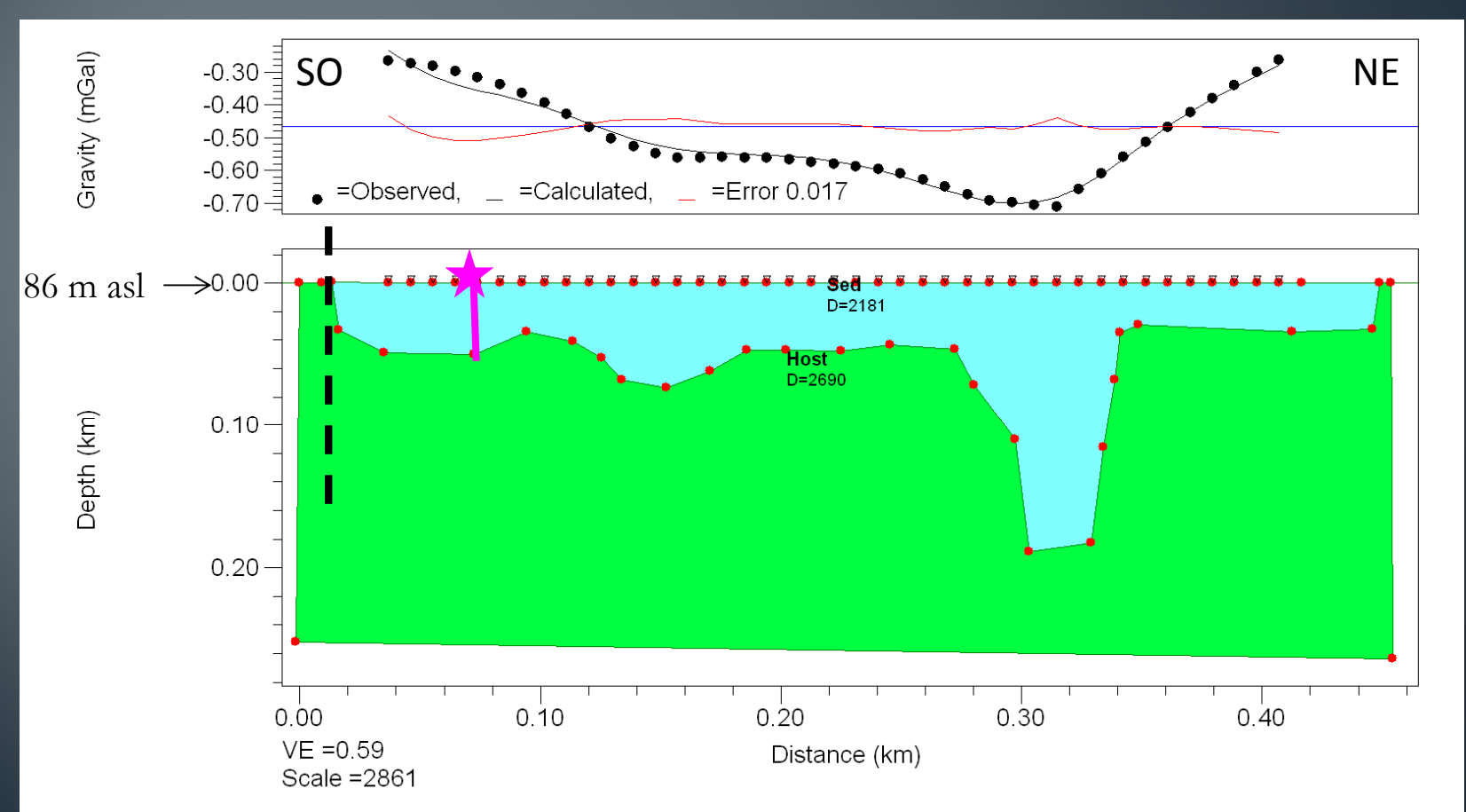
Carte des anomalies de Bouguer

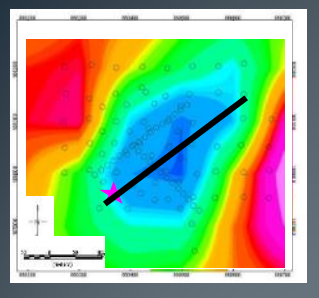


Anomalie de Bouguer vs modélisation

Contraintes

- Densité
- Forage
- Faille

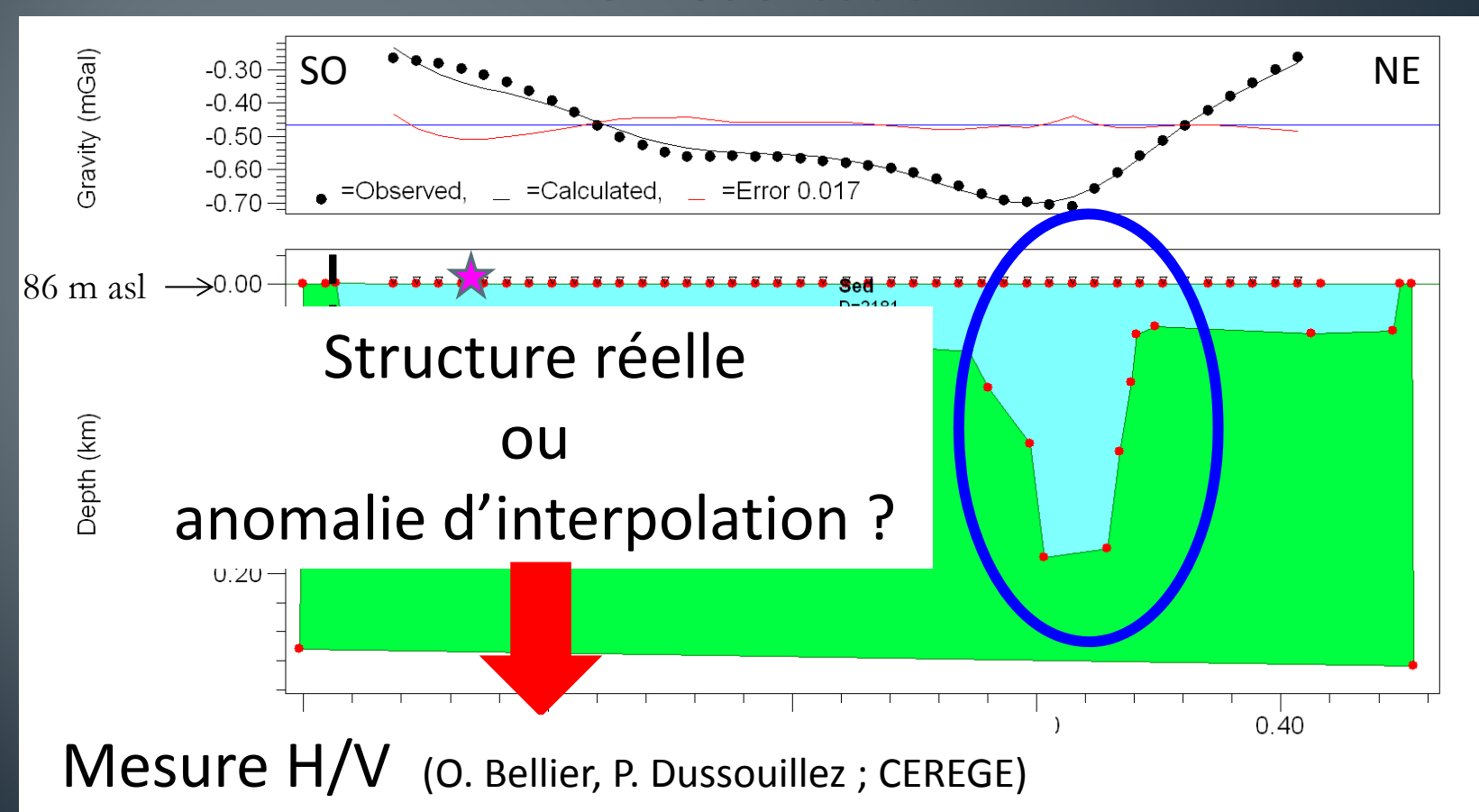




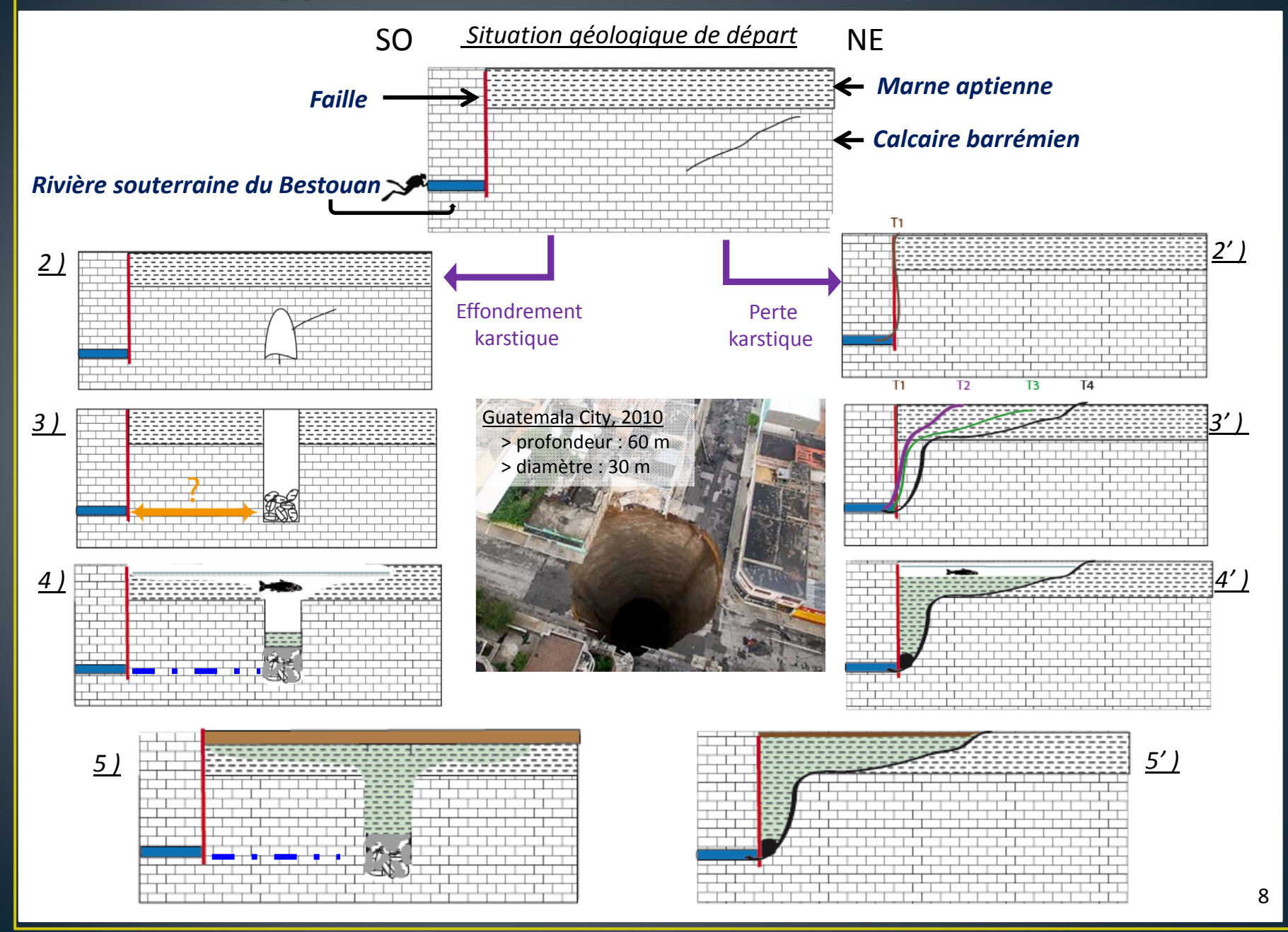
Anomalie de Bouguer vs modélisation

Contraintes

- Densité
- Forage
- Faille



Hypothèses de formation du paléo-lac



Datation du paléo-lac

Datations absolues

¹⁴C: 5 échantillons

OSL: 3 échantillons

 $> 50\ 000\ ans$

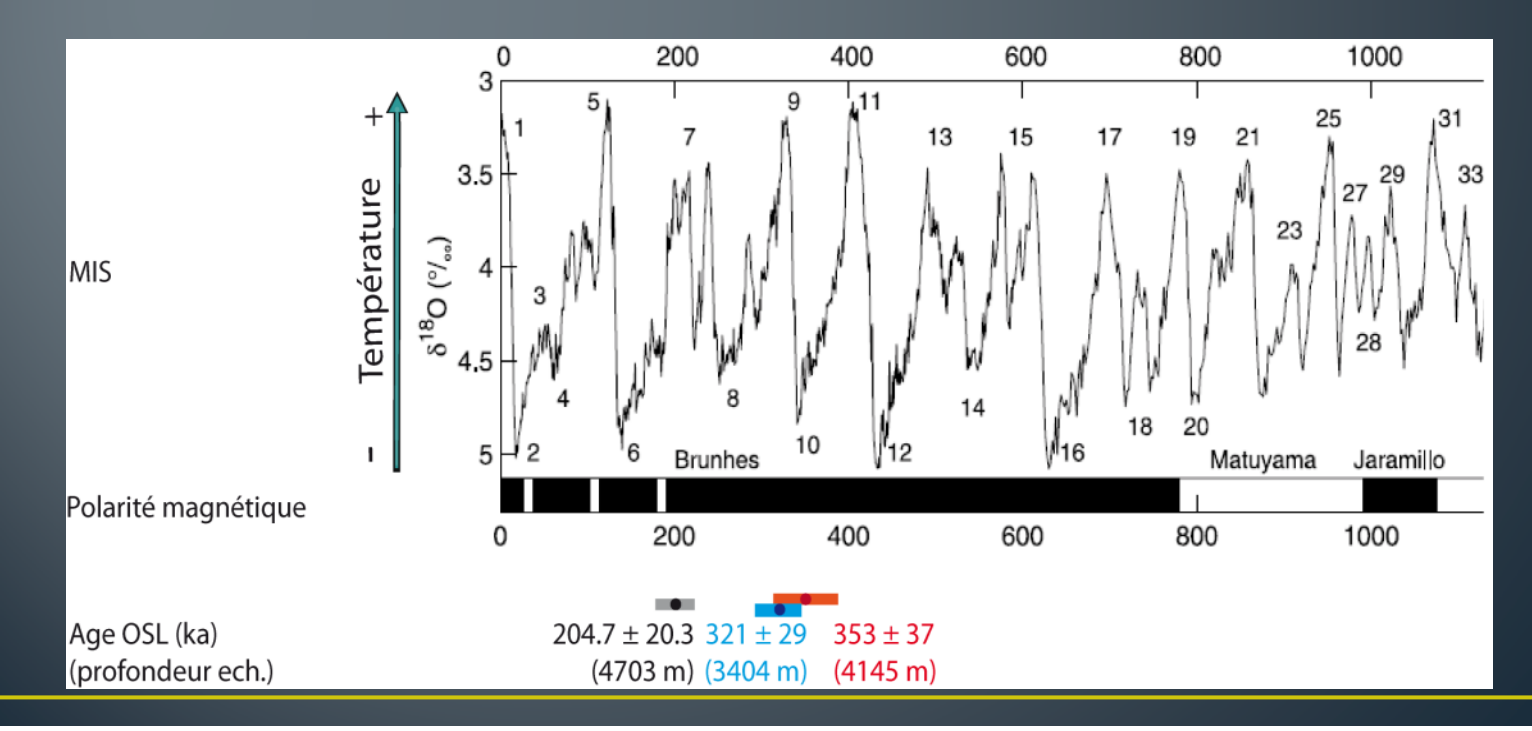
321 000 ± 29 000 (34 m)

353 000 ± 37 000 (41 m)

 $204\ 000 \pm 20\ 000\ (47\ m)$

Contraintes paléo-climatiques

- Pollen Artemisia (V. Andrieux-Ponel, IMBE)
- Polarité magnétique normale



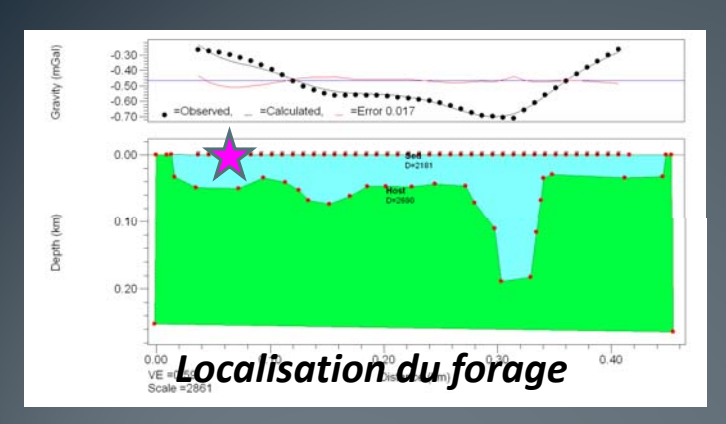
Sommaire

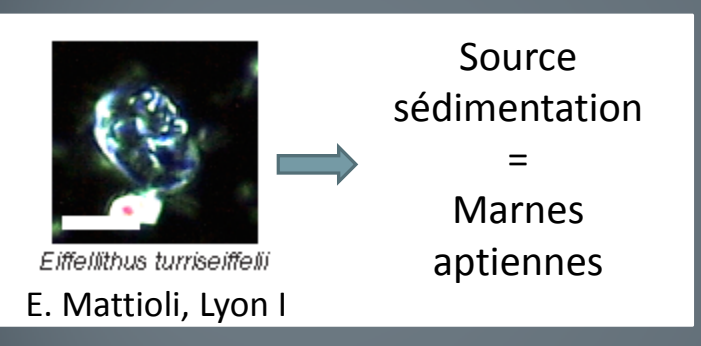
I Géomorphologie du paléo-lac de Cassis

II Enregistrement sédimentaire du paléo-lac de Cassis
Présentation
ITRAX
Magnétisme

III Enregistrement Holocène de la plaine de la Ferme Blanche

Présentation



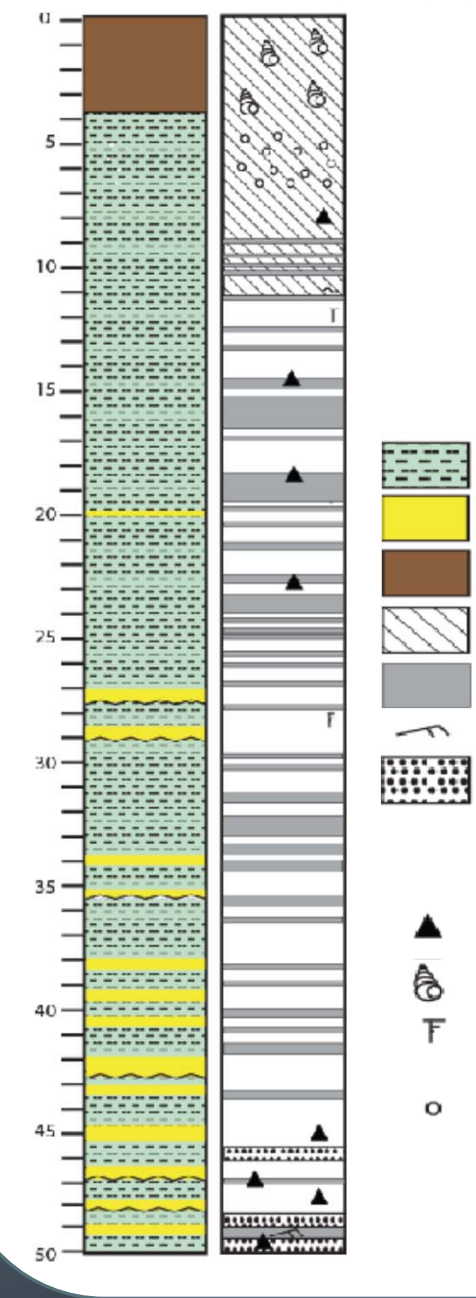




Corg ~ 0.5 % CaCO3 ~ 40 – 70 %

Sédimentation homogène Absence de fossiles

Log simplifié



A S

Argile

Sable fin

Limon

Ox-red.

Zone laminée

Lamine inclinée

Galet de marne Contact érosif

Contact franc

▲ Marco-charbon

& Gastéropode

F Faille Bioturbation

Concrétion calcite

ITRAX

Magnétisme

K. Tachikawa, M. Garcia (CEREGE)

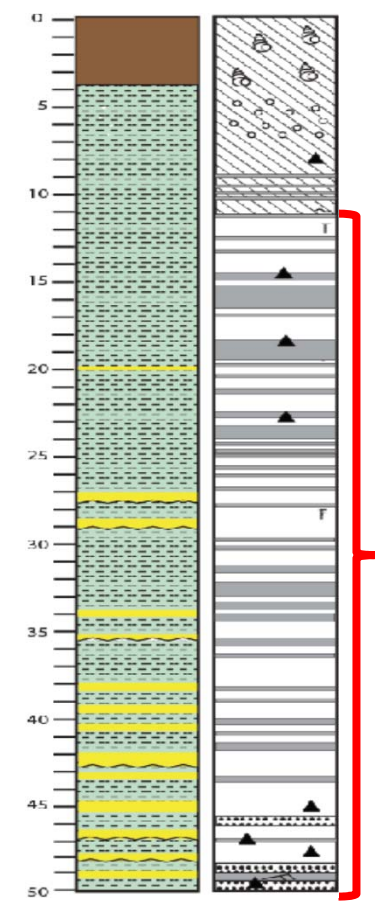
F. Demory (CEREGE)



<u>Caractéristiques de mesure</u>: Mo / 5 mm / 45 kV / 30 mA / 20 s



Composition chimique

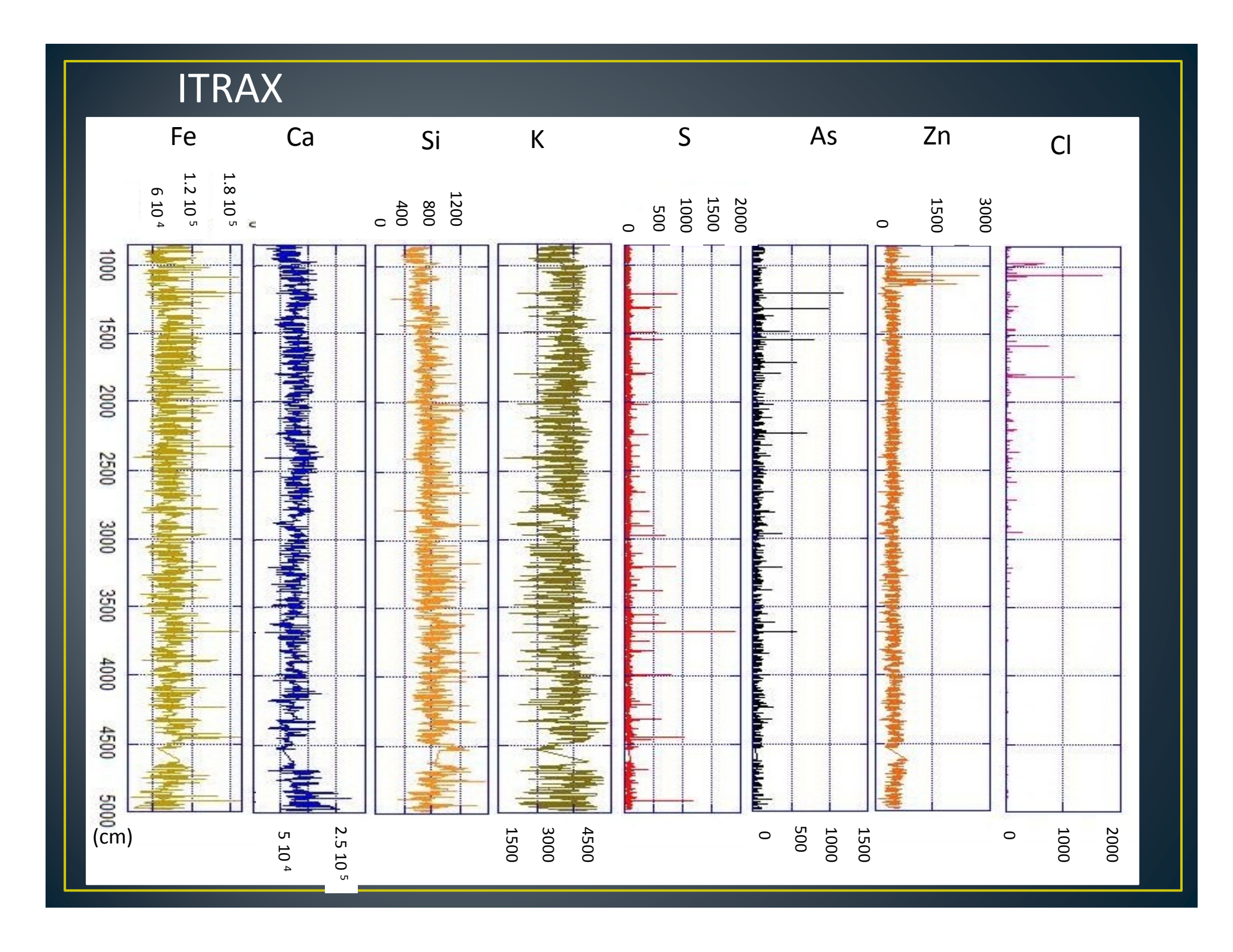


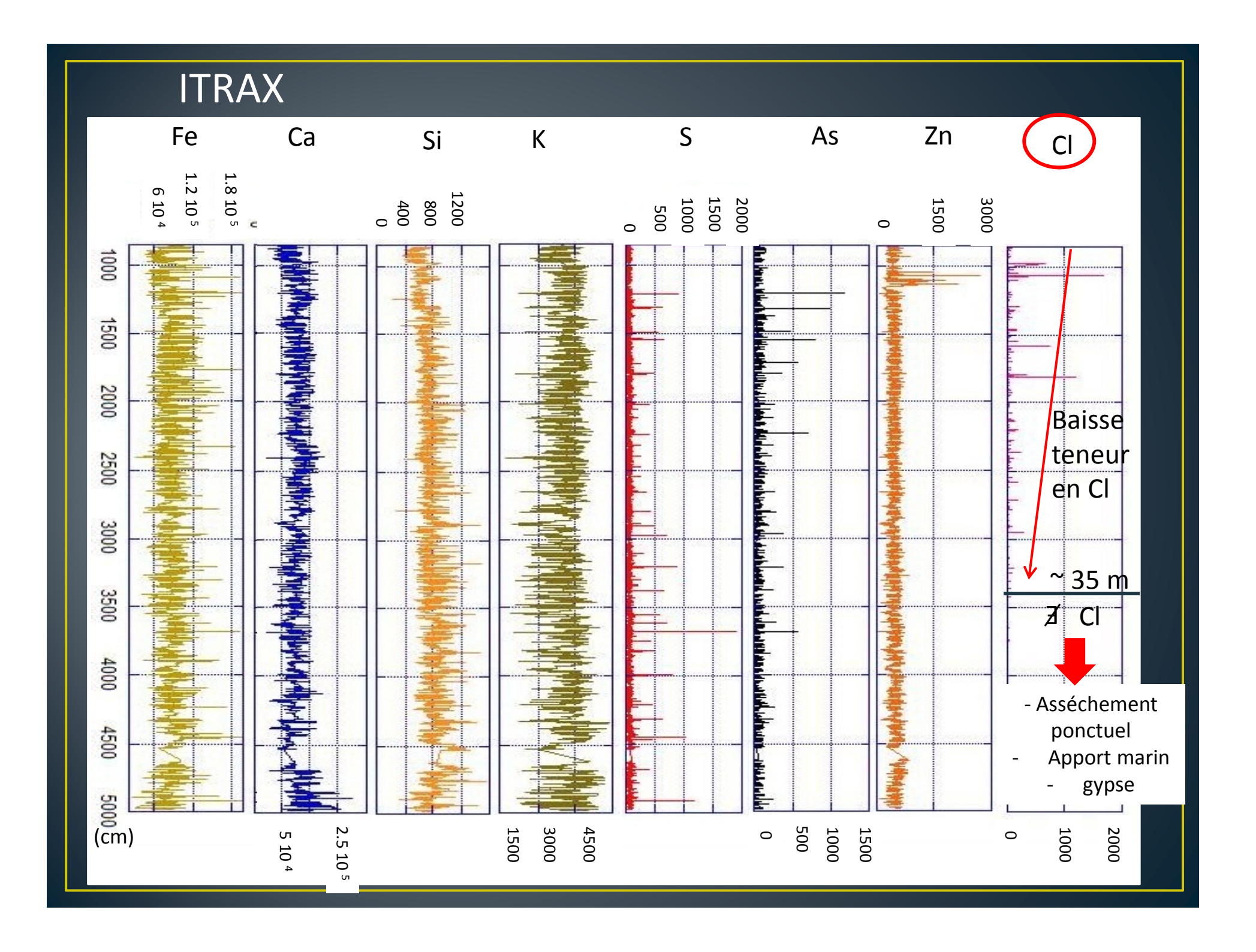


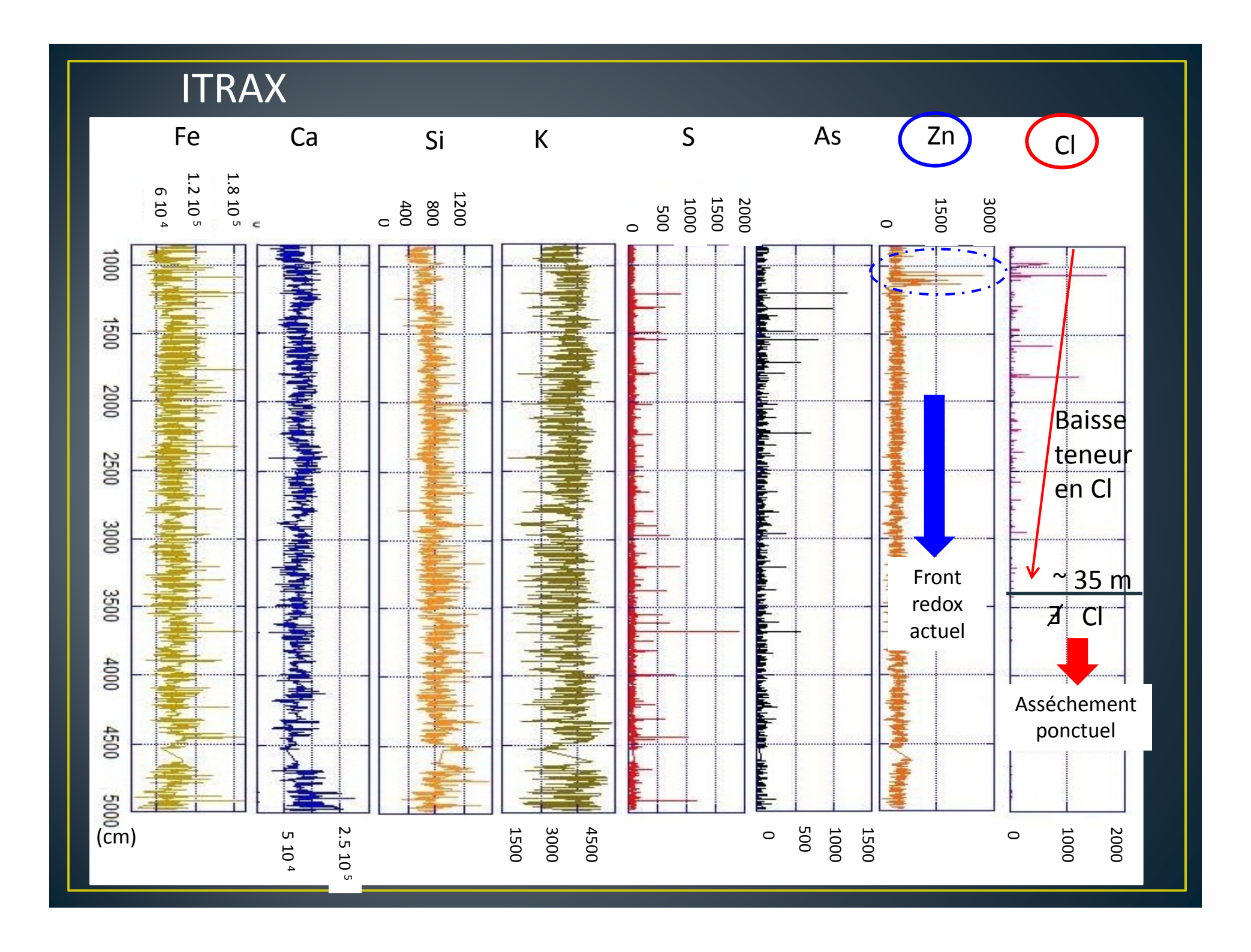


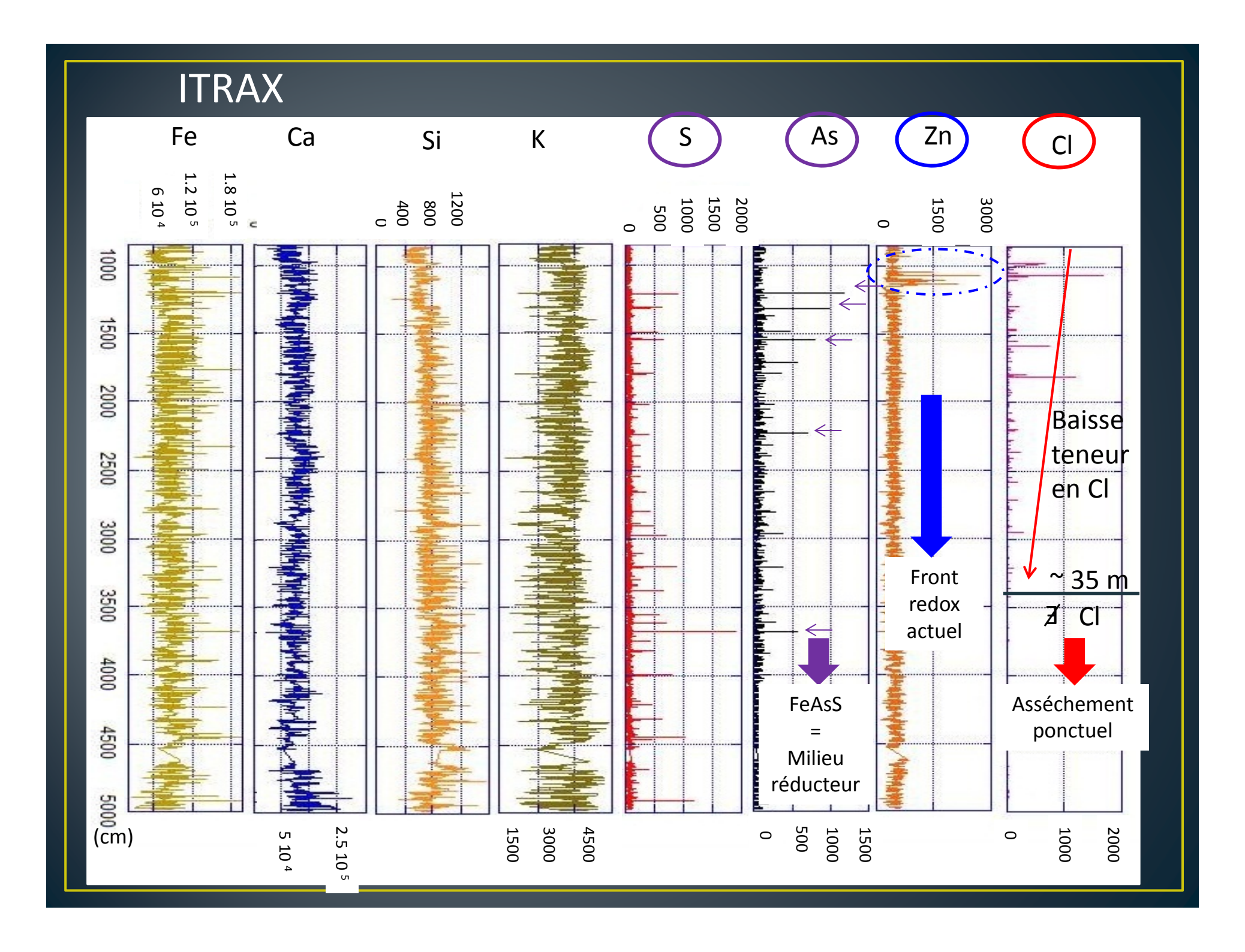
Identification des assemblages magnétiques dominants

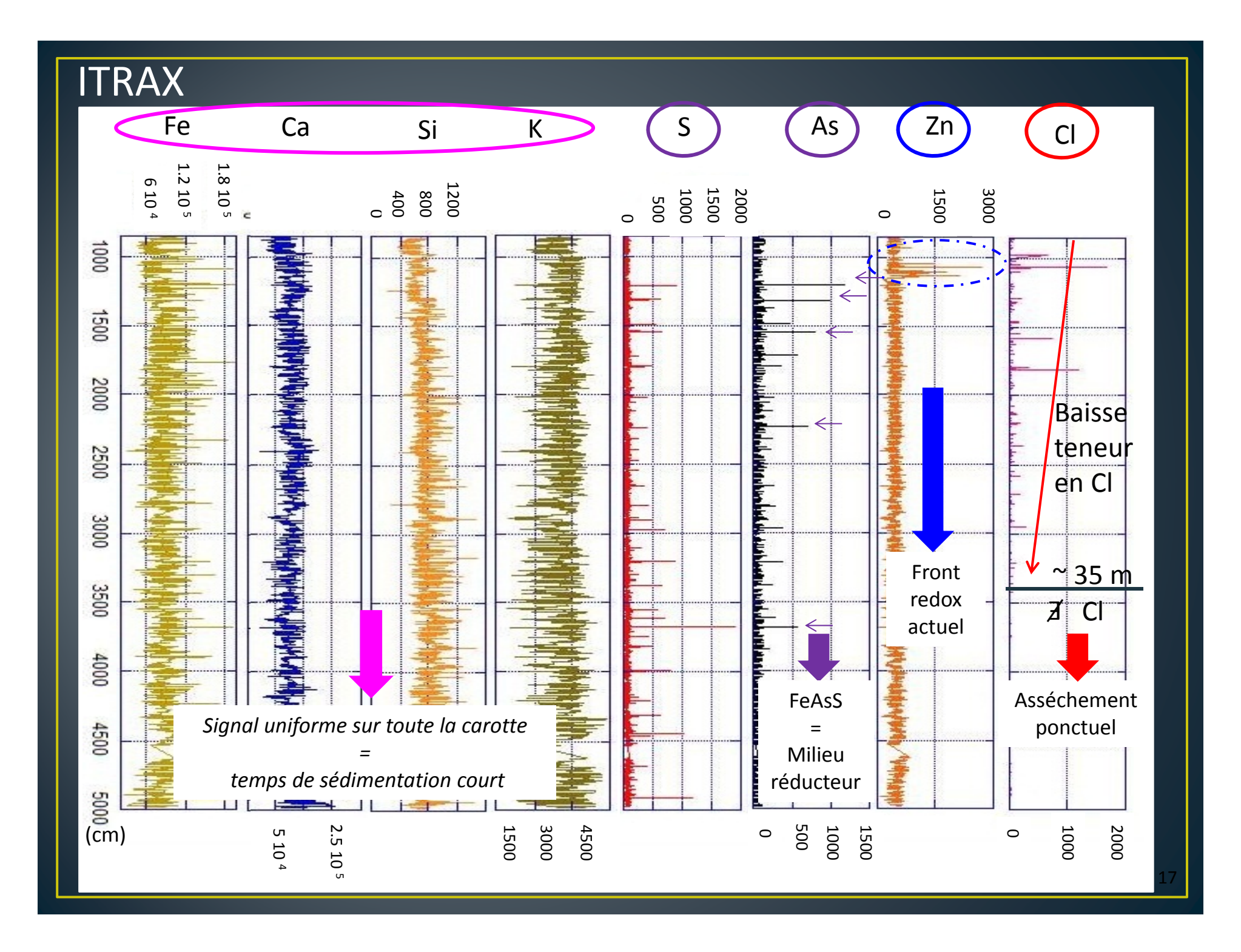
Interprétation paléo-environnementale



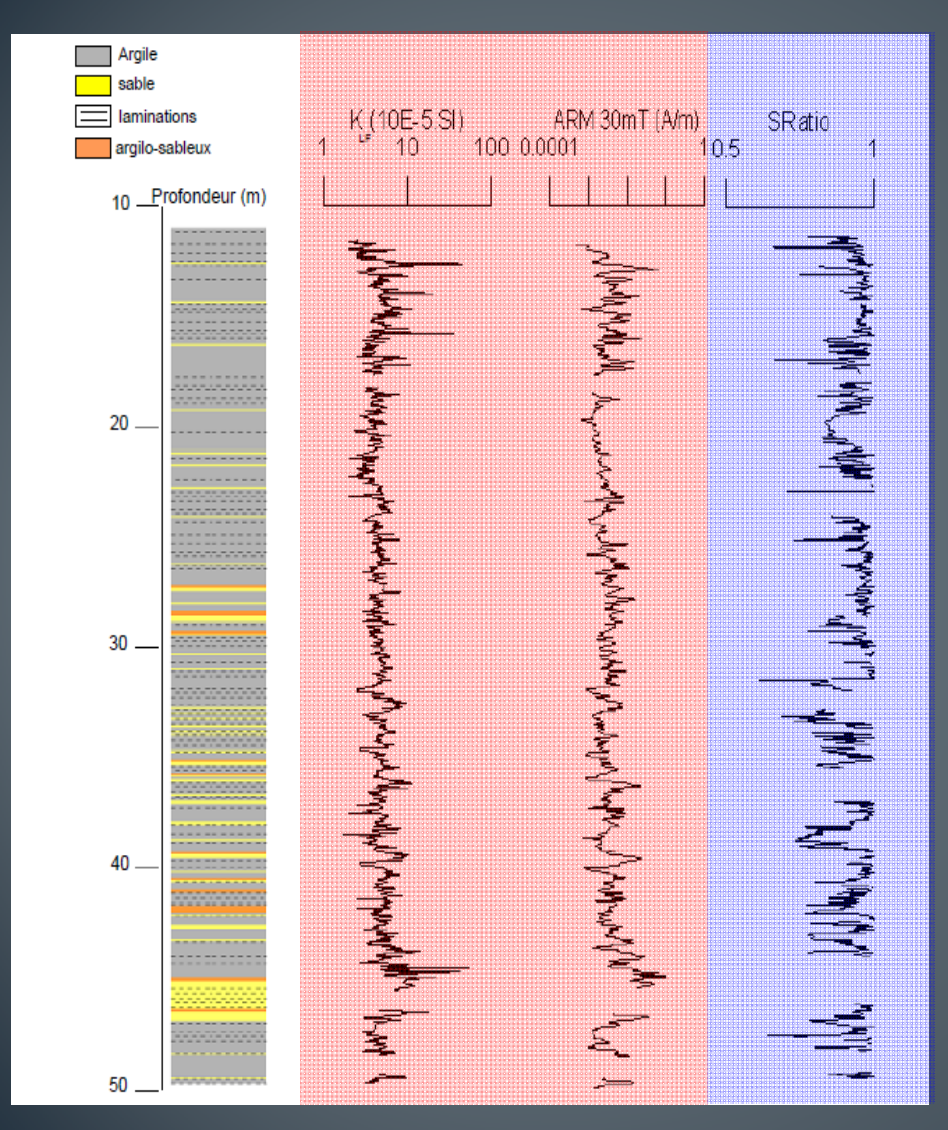








Magnétisme des roches



<u>Paramètres magnétiques</u>:

K : teneur en minéraux magnétiques

ARM30mT: granulométrie

S-ratio<1: hématite (α -Fe₂O₃) ou pyrrhotite (FeS)

S-ratio=1: magnétite (Fe₃O₄) / greigite (Fe₃S₄)

$$S-ratio = \frac{1}{2}*(1 - \frac{IRM}{SIRM})$$

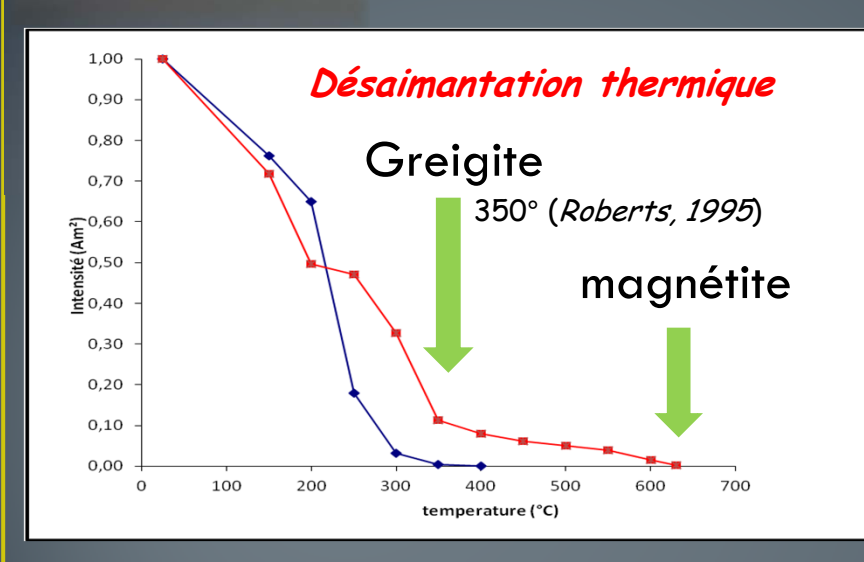


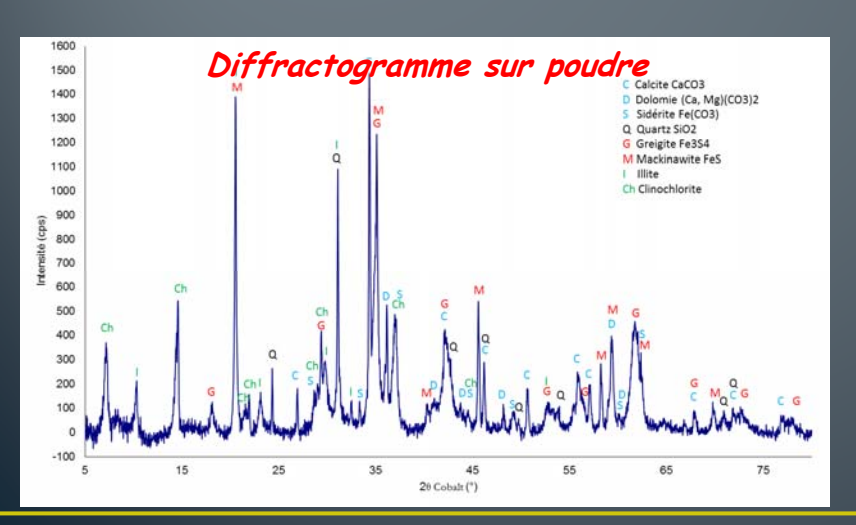
Présence de greigite et / ou magnétite

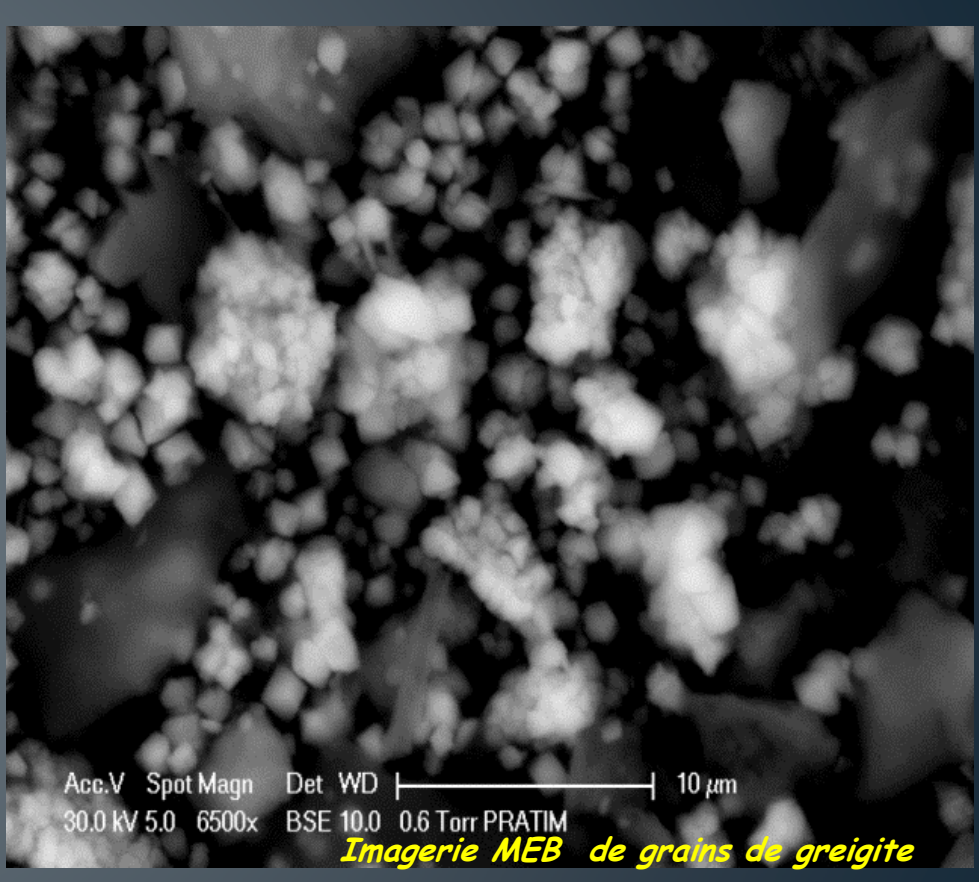
Propriétés magnétiques de la carotte de Cassis : susceptibilité K, aimantation rémanente anhystéretique et S-Ration



Minéralogie magnétique Désaimantation thermique Diffraction des rayons X / MEB

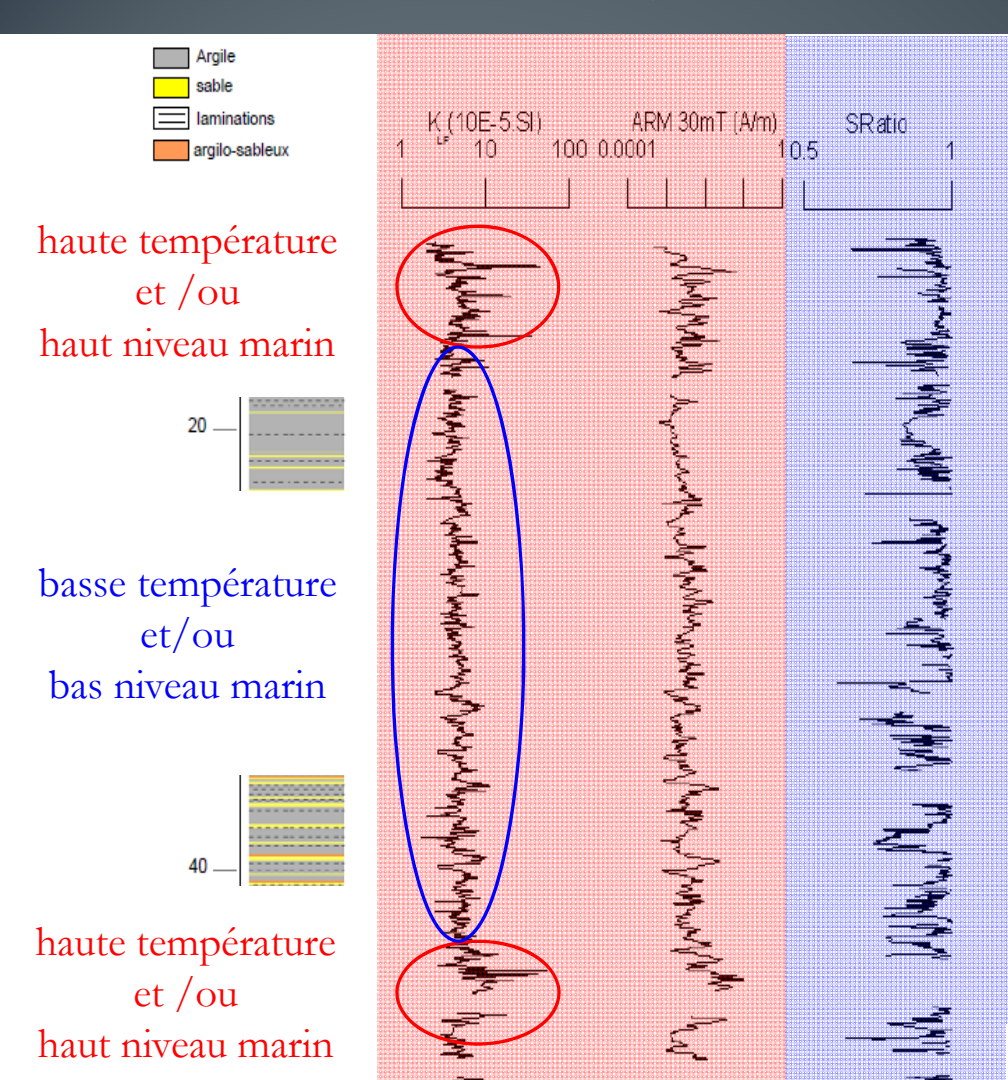






Greigite: Fe^{II}Fe^{III}₂5₄

Reconstitution paléo-environnementale et paléo-climatique



<u>Paramètres magnétiques</u>:

K : teneur en minéraux magnétiques

ARM30mT: granulométrie

S-ratio:

<1 hématite ou pyrrhotite</p>

=1 magnétite/greigite

Mesure GDGTs (G. Ménot, CEREGE)

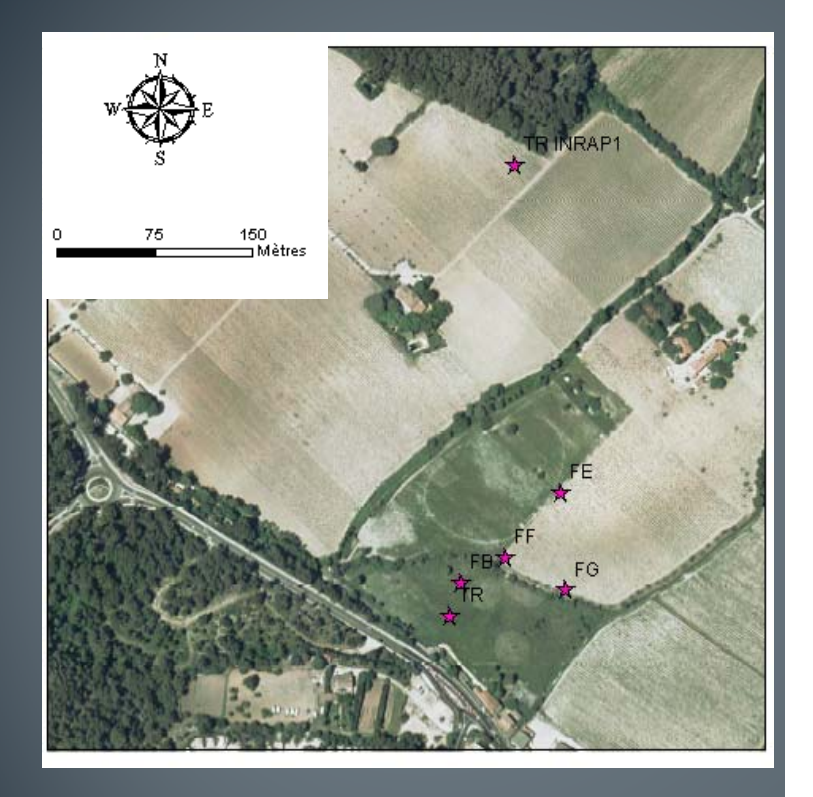
Sommaire

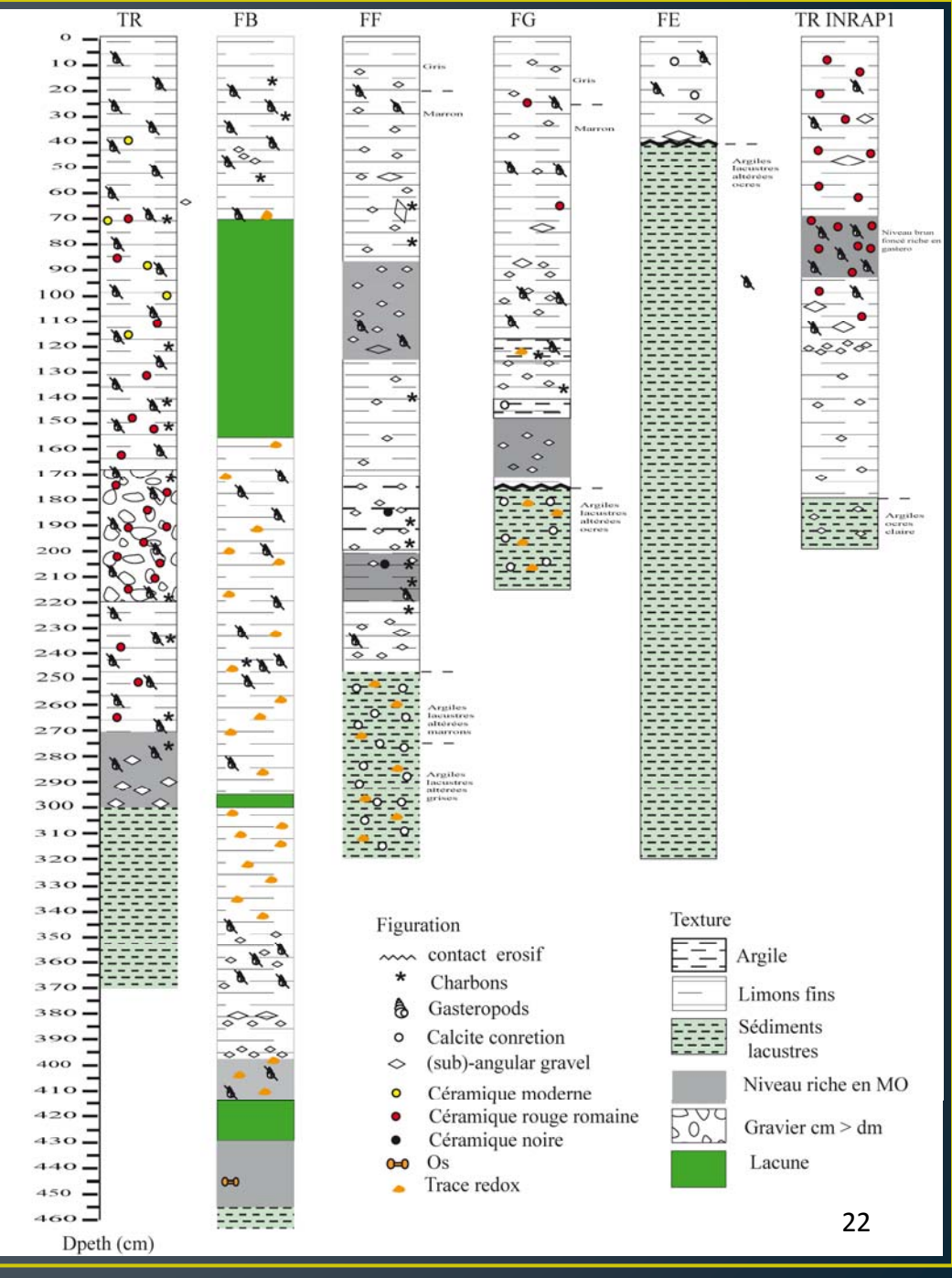
I Géomorphologie du paléo-lac de Cassis

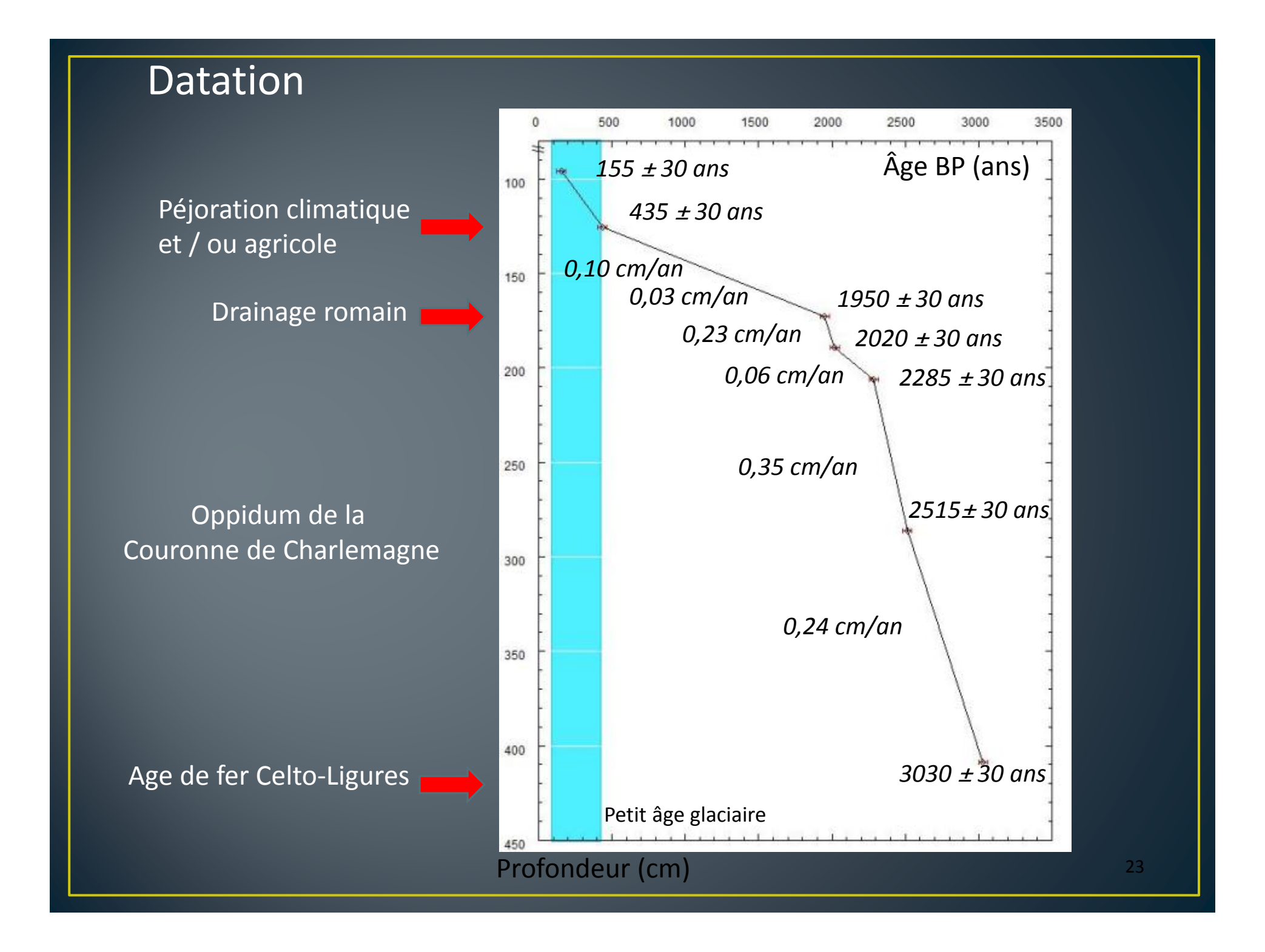
Il Enregistrement sédimentaire du paléo-lac de Cassis

III Enregistrement Holocène de la plaine de la Ferme Blanche Présentation Datation

Présentation







2012

Congrès

Romey C., Rochette P, Vella C., Champollion C., Dussouillez P., Hermitte D., Parisot J-C. 2012. Découverte d'un paléolac quaternaire à Cassis : étude géomorphologique. Colloque international Q8 « Quaternaire 8 ».

Romey C., Rochette P, Vella C., Arfib B., Champollion C., Dussouillez P., Hermitte D., Parisot J-C. 2012. A Quaternary paleolake in a sinkhole at Cassis (SE France): a geomorphology and geophysical study. EGU2012, Vienne.

Conférence de vulgarisation scientifique

Rochette P, Romey C., Vella C., Arfib B., Champollion C., Dussouillez P., Hermitte D., Parisot J-C. 2012. Exploration du lac de Cassis il y a 200 000 ans. Cassis.

2013

Mesures en cours / projetées

Géomorphologie du paléo-lac : mesure H/V

Étude de l'évolution des feux dans le bassin versant : comptage des micro charbons

Articles en préparation

Romey C., Rochette P, Vella C., Champollion C., Dussouillez P., Hermitte D., Parisot J-C, Andrieu-Ponel V., Matiolli E. Geomorphology of a Quarternary paleolake dans Geomorphology

Conférence à venir

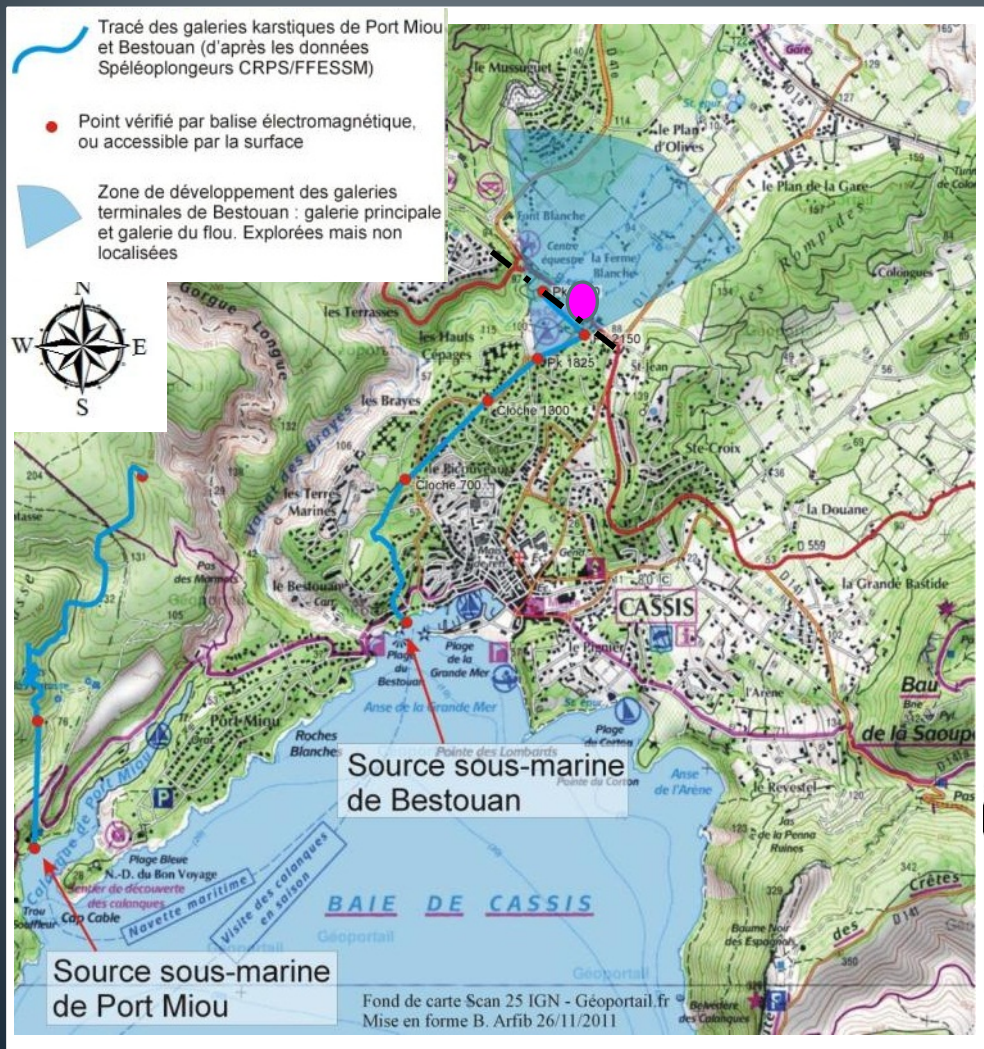
Romey C., Rochette P, Vella C., Demory F. Enregistrement magnétique d'un paléo-lac karstique en Provence (SE France). Magnétisme en Sciences de la Terre et de l'Univers en France. IPGP, Paris

18/01/2013

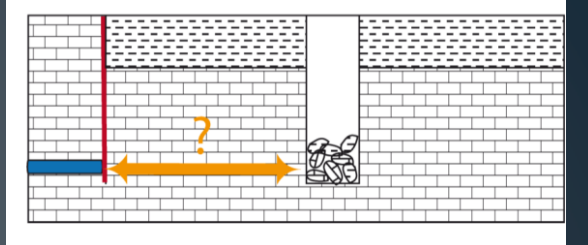
Merci de votre attention!

Relation

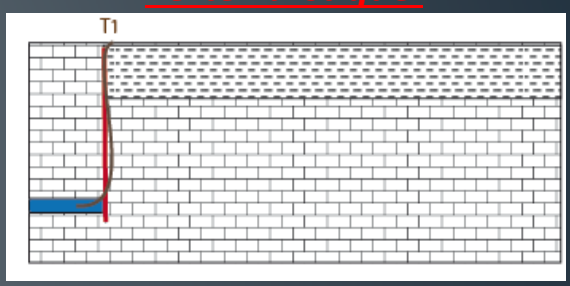
Bestouan / Paléo-lac

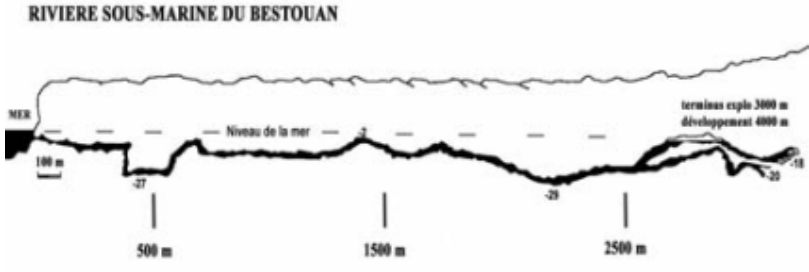


Effondrement karstique

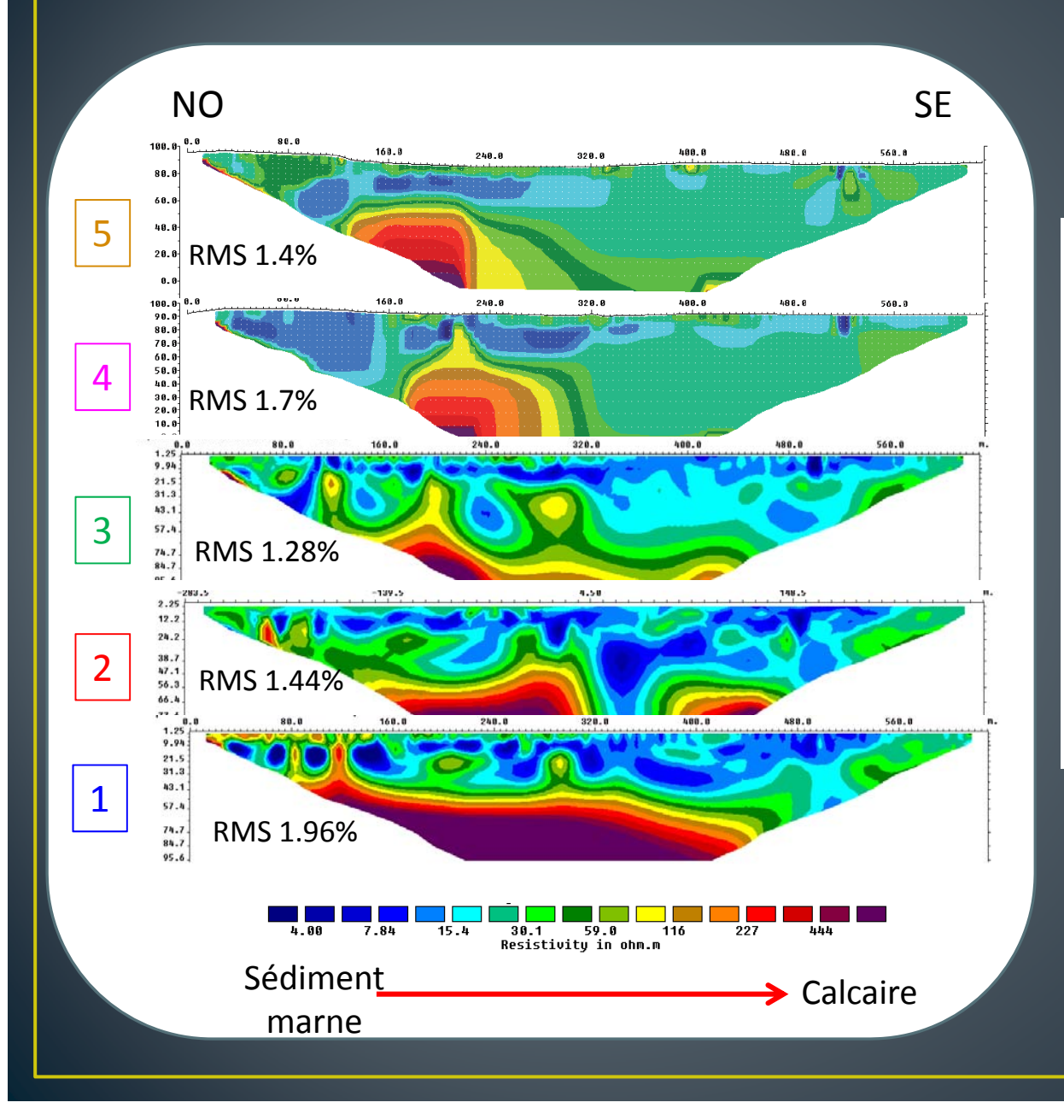


Perte karstiaue

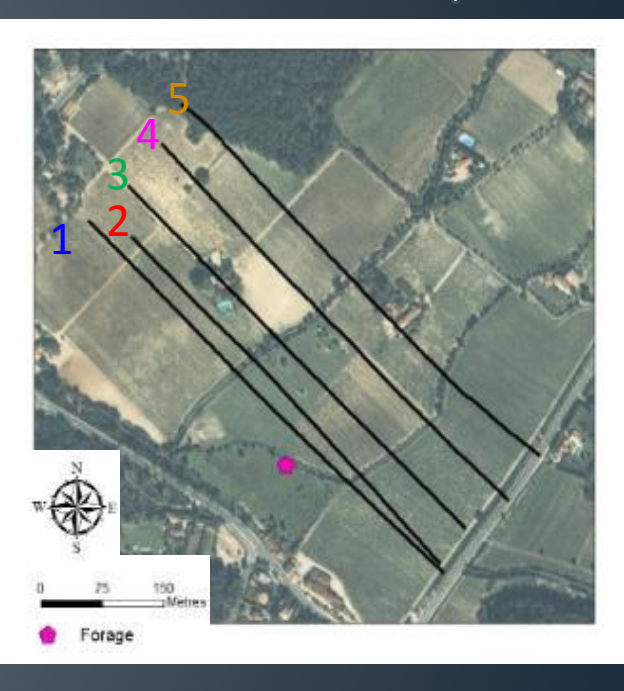




Topo C.R.P.S. / F.F.E.S.S.M. mai 1992

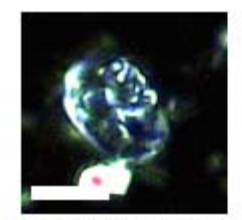


Tomographie de résistivité électrique

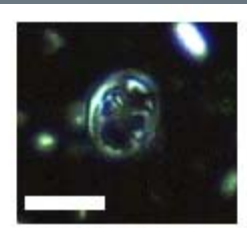


Sédiment source : nanofossiles calcaires

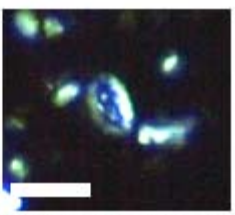
Sample	Index species	Known range	Inferred probable age	Associated species	Remarks
CASSIS	Braarudosphaera bigelowii	Albian - Cenomanian Cenomanian - present	Cenomanian	rotatorius E turriseiffelli	dominant contribution of Aptian sediments
		Late Aptien – Campanian Late Aptien – Albien Late Berriasian - Maastrichtian	Aptian-Albian		
	Eiffellithus striatus Calcicalathina oblongata	Late Valanginian - Late Hauterivian Early Valanginian - Early Barremian	Valanginian-		
	Tubodiscus verenae	Late Berriasian - Late Hauterivian	Hauterivian		



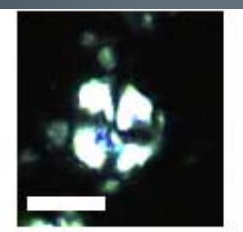
Eiffellithus turriseiffelli



Eiffellithus striatus



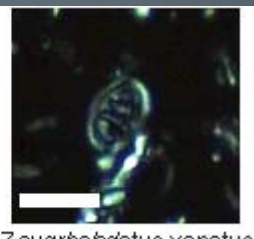
Rhagodiscus angustus



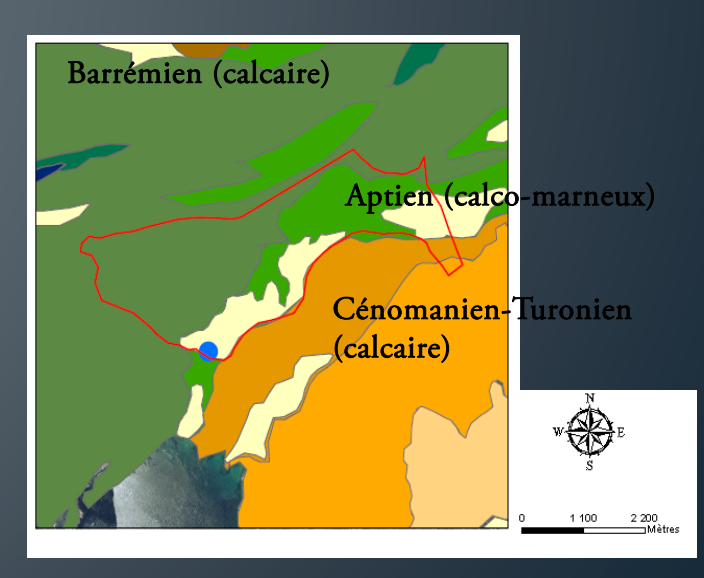
Watznaueria barnesiae



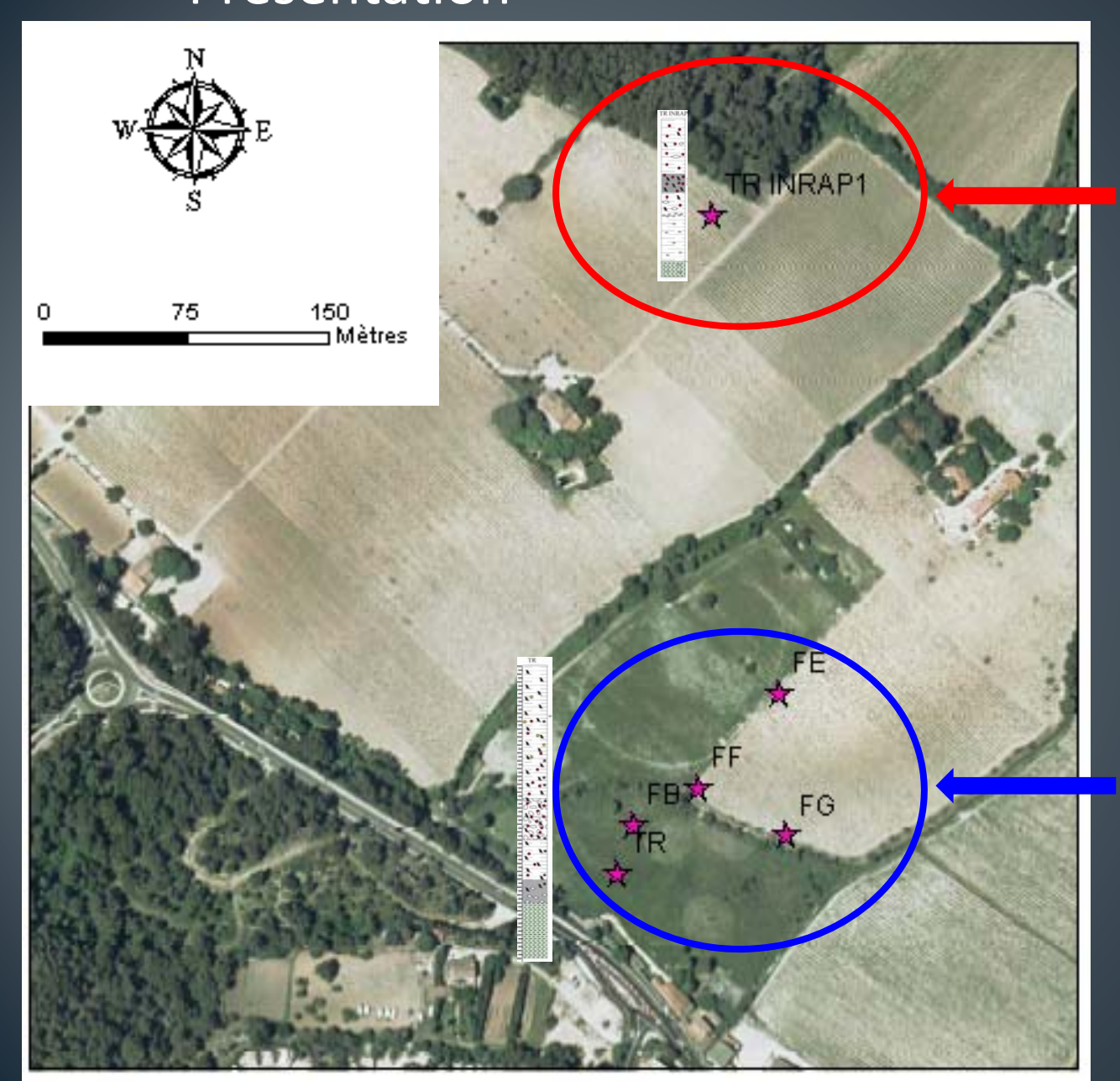
Rhagodiscus infinitus



Zeugrhabdotus xenotus Matiolli, com. Perso.

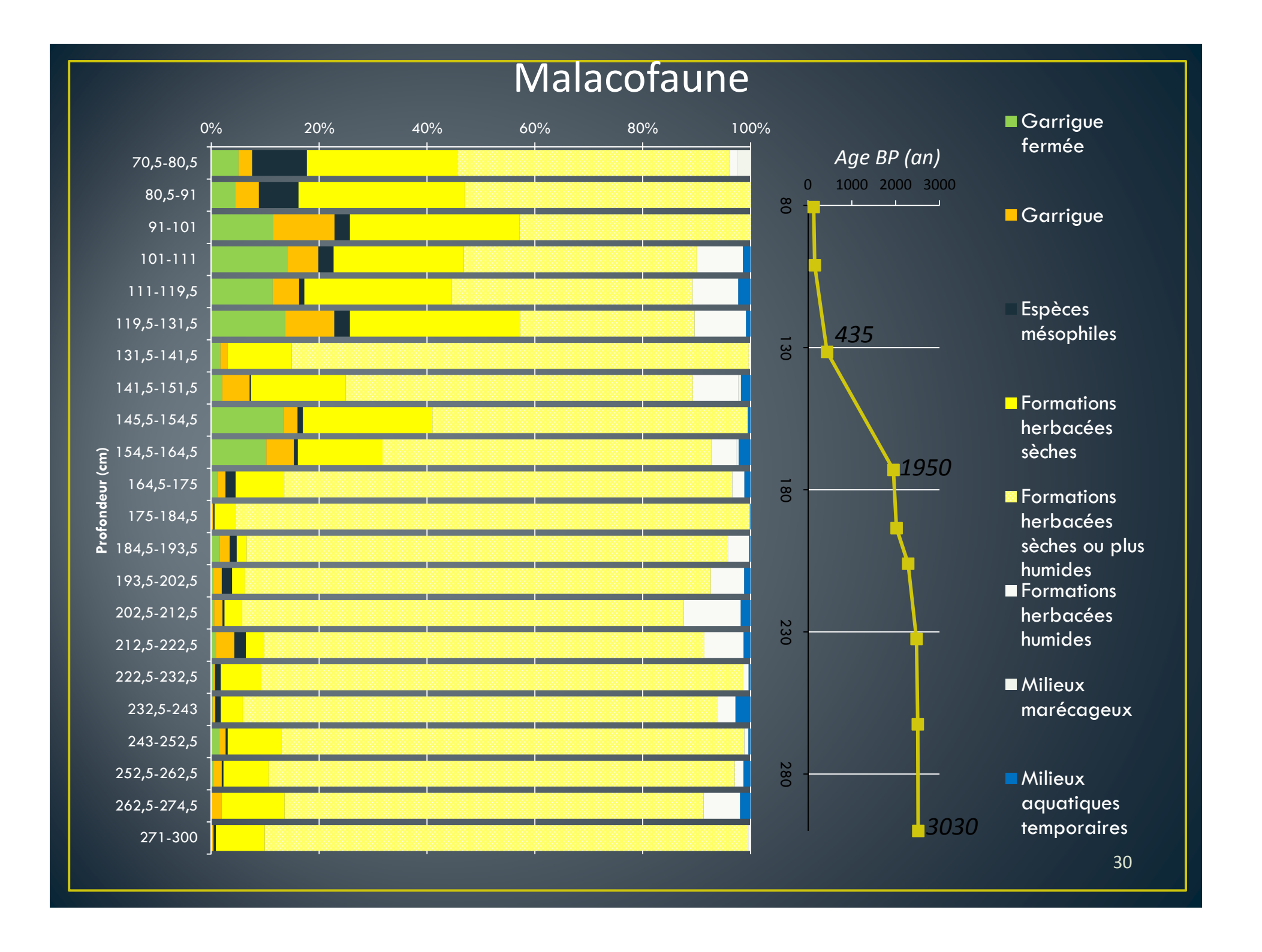


Présentation



Age : de 6645 à 5335 ans

> Age : de 3030 à 130 ans



Plomb vs Age

